

# مشخصات جبهه آلودگی، اختلاط و ترقیق نهایی در تخلیه سطحی فاضلابهای سنگین به آبهای ساکن

حسین خیرخواه گیله<sup>۱</sup>

ناصر حاجی زاده داکر<sup>۲</sup>

محسن سعیدی<sup>۳</sup>

عزیز عابسی<sup>۴</sup>

(دریافت ۸۸/۸/۶ آخرین اصلاحات دریافنی ۹۰/۱/۲۵ پذیرش ۹۰/۲/۱۸)

## چکیده

تخلیه فاضلابهای شهری و صنعتی در بیکردهای آبی از طریق تخلیه کننده‌های دریایی از روش‌های معمول در دفع پس‌ابهای تولیدی در مناطق ساحلی محسوب می‌گردد. تخلیه کننده‌های دریایی با تشدید فرایند اختلاط در فاصله محدودی از جلوی تخلیه کننده، غلظت الاینده‌ها را تا حد تحمل محیط پذیرنده، پایین آورده و تخلیه پیوسته فاضلاب در محیط دریا را ممکن می‌سازند. طی سالیان اخیر به واسطه توسعه روزافزون نمک‌زدایی‌های ساحلی، تولید و تخلیه سطحی فاضلابهای شور و سنگین در دریا، به طور چشمگیری افزایش یافته است. در این تحقیق تخلیه سطحی جریان‌های سنگین خروجی از کانال مستطیلی از طریق شبیه‌سازی آزمایشگاهی آن در محیط‌های ساکن مورد بررسی و مطالعه قرار گرفت. موقعیت نقطه شیرجه، نقطه برخورد جریان با بستر و موقعیت نقطه دستیابی جریان به ترقیق نهایی خود در محیط از جمله پارامترهایی هستند که در این مقاله مورد بررسی قرار گرفتند. همچنین از طریق جانمایی تعدادی حسگر هدایت الکتریکی در مجاورت بستر، میزان ترقیق جریان در نقطه برخورد و ترقیق نهایی آن در مجاورت بستر برآورد و نتایج آن در قالب مجموعه‌ای از نمودارهای بی‌بعد ارائه گردید. نتایج به دست آمده بیانگر رابطه مستقیم مشخصات جریان با عمق محیط و شارهای اولیه جریان خروجی است.

واژه‌های کلیدی: تخلیه سطحی، تخلیه کننده‌های دریایی، شناوری منفی، اختلاط، جت، پلوم

## Waste Field Characteristics, Ultimate Mixing and Dilution in Surface Discharge of Dense Jets into Stagnant Water Bodies

Ozeair Abessi<sup>1</sup>

Mohsen Saeedi<sup>2</sup>  
Hossein Kheirkhah Gildeh<sup>4</sup>

Naser Hajizadeh Zaker<sup>3</sup>

(Received Oct. 28, 2009    Revised Apr. 14, 2011    Accepted May 8, 2011)

### Abstract

Direct discharges of municipal and industrial waste waters into water bodies through marine outfalls are considered as a common way to dispose the generated waste in coastal zones. Marine discharge, intensifying flow mixing and entrainment, decrease the concentration of pollutant up to accepted concentration and meet the guideline values and to make possible continues discharge of flow into marine environment. During last years due to quick development of coastal desalination plants, surface discharge of produced salty water into seas and oceans has increased significantly. In this study, releases of dense jets from surface rectangular channel into stagnant bodies are experimentally studied. The location of flow plunge point, impact point and discharge ultimate dilution were drawn out by a digital video technology. In addition, using some conductivity probes located in ambient floor, waste filed dilution in flow impact point and discharge ultimate dilution were identified. Finally the obtained results were plotted and explained along with some diagrams to show flow non-dimensional behavior. The results showed that the properties of flow are changing directly with ambient water depth and discharge initial fluxes.

**Keywords:** Surface Discharge, Marin Outfall, Negative Buoyancy, Mixing, Jet, Plume.

1. Ph.D. Student, Dept. of Civil and Environmental Eng., Iran University of Science and Technology, Tehran

۱- دانشجوی دکترای آب و محیط زیست، دانشکده عمران، دانشگاه علم و صنعت ایران

2. Assoc. Prof. of Water and Environment, School of Civil Eng., Iran University of Science and Technology, Tehran (Corresponding Author)  
(+98 21) 77240399 msaeedi@iust.ac.ir

۲- دانشیار گروه مهندسی محیط زیست، دانشکده محیط زیست، دانشگاه تهران  
msaeedi@iust.ac.ir

3. Assoc. Prof. of Environment, Tehran University, Tehran

۳- دانشیار گروه مهندسی محیط زیست، دانشکده محیط زیست، دانشگاه تهران

4. B.S. Student, Dept. of Civil and Environment Eng., Iran University of Science and Tech., Tehran

۴- دانشجوی کارشناسی عمران، دانشکده عمران، دانشگاه علم و صنعت ایران، تهران

## ۱- مقدمه

پسابهای تولیدی در نمک‌زدایی ساحلی عنوان نموده‌اند [۱۷]. کانال‌های ساحلی پیشروندۀ در محیط علاوه بر ارجحیت اقتصادی، به‌دلیل فاصله از ساحل کناره به عنوان حساس‌ترین نقطه متأثر از آلوودگی، تخفیف بیشتر پیامدهای نامطلوب فاضلاب بر محیط زیست ساحلی را نیز نسبت به تخليه‌های درجا در مجاورت ساحل به‌همراه خواهند داشت [۱۶].

جت ساده<sup>۵</sup> ساده‌ترین حالت از تخليه است که در آن جریانی با مشخصات مشابه آب محیط ( $\rho_0 = \rho_a$ ) از طریق یک روزنه یا مجرأ در آن تخليه می‌شود [۱۸]. مشخصات جریان در این حالت از تخليه، تنها تابعی از شار جرمی و شار مومنتم فاضلاب خروجی عنوان گردیده است. در مطالعات متعدد انجام شده بر روی جت‌های ساده مستغرق، پروفیل عمودی سرعت و غلظت جریان به صورت گوسی گزارش شده است [۱۹]. این در حالی است که پروفیل‌های سرعت و غلظت جریان در جت‌های سطحی در جهت افقی، گوسی و در جهت عمودی، نیم گوسی است [۱۵].

پلوم ساده<sup>۶</sup> به تخليه جریانی بدون شار مومنتم و شار جرمی بالا اطلاق می‌گردد که در آن مشخصات جریان تنها تابعی از شناوری فاضلاب خروجی است [۱۸]. اختلاف چگالی جریان خروجی با محیط در حالت پلوم ساده عامل تعیین‌کننده حرکت بالارونده یا پایین‌رونده جریان در راستای قائم محسوب می‌گردد. جریان خروجی در صورت تخليه با سرعت اولیه و اختلاف چگالی (مبثت یا منفی) با آب محیط، الگوی سومی از جریان در محیط تحت عنوان جت شناور<sup>۷</sup> را ایجاد خواهد نمود [۱۸]. جریان پسابهای سنگین خروجی از تخليه‌کننده‌های دریایی به‌دلیل داشتن سرعت و اختلاف دانسیته با آب محیط از نوع جت‌های شناور محسوب می‌گردد [۲۲، ۲۳ و ۱۷]. این جت‌ها پس از ورود به محیط به‌دلیل اختلاف دانسیته خود با آن، حرکتی پایین‌رونده‌ای به‌سمت اعماق بیشتر محیط پذیرنده به‌خود می‌گیرند. جت خروجی در حالت شناور تحت تأثیر شارهای مومنتم و شناوری جریان خروجی، در ابتدا الگوی حرکت جت مانند<sup>۸</sup> و سپس حالت پلوم شکل<sup>۹</sup> به‌خود می‌گیرد. در این حالت در فاصله کافی از منبع شکل پلوم مانند، جریان خروجی بر مشخصات جت مانند آن برتری یافته و حالت جریان از قالب جت به قالب پلوم تبدیل می‌گردد [۱۸]. در این محدوده گرادیان سرعت جریان با سیال محیط باعث القای آشفتگی در جریان خروجی می‌شود. آشفتگی‌های القایی از طریق کشیدن

تخليه فاضلاب خام در دریا یا تخليه آن پس از انجام تصفیه اولیه از جمله روش‌های دفع فاضلاب در مناطق ساحلی محسوب می‌گردد. در این مناطق، پسابهای تولیدی بسته به مشخصات محیط پذیرنده و فاضلاب تولیدی از طریق انواع تخليه‌کننده‌های سطحی و مستغرق تک‌ مجرایی یا چند مجرایی در محیط دریا تخليه می‌گردد [۱]. بر طبق قولانی سازمان حفاظت از محیط زیست امریکا<sup>۱</sup> و مؤسسه سلطنتی حفاظت از محیط زیست انگلیس<sup>۲</sup> تخليه فاضلاب در دریا تنها به شرط ارضی استانداردهای سختگیرانه حاکم بر کیفیت آب در محیط‌های پذیرنده، برای حداقل نمودن خسارت‌ها و پیامدهای زیست‌محیطی فاضلاب بر محیط‌زیست مجاز است [۲، ۳ و ۴]. استانداردهای مذکور در تفاوت آشکار با استانداردهای موجود در رودخانه‌ها، فاصله‌ای از جلوی تخليه‌کننده تحت عنوان ناحیه میدان نزدیک<sup>۳</sup> را برای ترقیق و کاهش غلظت جریان در محیط مورد توجه قرار می‌دهند. جریان خروجی، حداً کثر طول این ناحیه را برای پخش در محیط و کاهش غلظت آلائینده تا حد استانداردهای محیط زیستی در اختیار دارد. امتداد این ناحیه که تحت عنوان ناحیه اختلاط اولیه<sup>۴</sup> شناخته می‌شود تابعی از شکل و نوع تخليه‌کننده، مشخصات جریان تخليه‌ای، سرعت‌های محیطی و وضعیت لایه‌بندی پیکره آبی پذیرنده است [۱].

به‌منظور برآورد کمی مشخصات جریان در جت‌های خروجی از انواع تخليه‌کننده‌های دریایی، تاکنون مطالعات بسیار گسترده‌ای انجام گرفته است [۱۵-۵]. تخليه‌کننده‌های سطحی در مقایسه با تخليه‌کننده‌های مستغرق در این میان مطالعات کمتری را به‌خود اختصاص داده‌اند. این تخليه‌کننده‌ها که بیشتر در تخليه فاضلابهای بسیار حجمی نیروگاههای حرارتی مورد استفاده قرار می‌گیرند با توجه به حجم بسیار بالای پساب تولیدی و ترقیق کمتر مورد نیاز، از دیدگاه اقتصادی روشنی مطلوب‌تر تلقی می‌گردد [۱۶]. در سالهای اخیر با رشد فعالیت‌های استحصال مواد معدنی در سواحل و توسعه تأسیسات نمک‌زدایی آب دریا در این نواحی، استفاده از تخليه‌کننده‌های سطحی برای تخليه پسابهای سنگین و بسیار حجمی تولیدی این صنایع مورد توجه قرار گرفته به‌نحوی که در حال حاضر تخليه‌کننده‌های سطحی متعددی در نقاط مختلف دنیا برای تخليه این فاضلابها در حال فعالیت هستند [۱۷]. احمد و همکاران در سال ۲۰۰۱ در مطالعات خود استفاده از کانال‌های ساحلی را روشن مناسب از نظر فنی و اقتصادی، به‌منظور تخليه حجم بسیار بالای

<sup>5</sup> Simple Jet

<sup>6</sup> Simple plume

<sup>7</sup> Buoyant Jet

<sup>8</sup> Jet like

<sup>9</sup> Plume like

<sup>1</sup> Environmental Protection Agency (EPA)

<sup>2</sup> Royal Commission on Environmental Pollution

<sup>3</sup> Near Field

<sup>4</sup> Initial Mixing

علویان در سال ۱۹۸۶ و کاسم و همکاران<sup>۱۱</sup> در سال ۲۰۰۳ از محدود محققانی بوده‌اند که مشخصات جریان در تخلیه سطحی فاضلابهای سنگین از کانال‌های واگرا و شیبدار در شرایطی مشابه ورود جریان‌های رسوبی به مخازن سدها را مورد بررسی و مطالعه قرار داده‌اند [۲۸، ۱۹ و ۲۹]. لا و همکاران<sup>۱۲</sup> نیز در سال ۲۰۰۴ میزان ترقیق و اختلالات جریان ناشی از تخلیه پسابهای با شناوری خنثی از تخلیه‌کننده‌های سطحی مستقر در سطح در محیط‌های ساکن را مورد مطالعه قرار داده‌اند [۲۱].

در این پژوهش با توجه به عدم وجود مطالعات جامع در زمینه تخلیه فاضلابهای سنگین از کانال‌های سطحی پیش‌روند، از طریق توسعه یک مدل تحقیقاتی و انجام مشاهدات آزمایشگاهی در حالت مختلف تخلیه نسبت به بررسی مشخصات حرکت و میزان ترقیق جت شناور خروجی در نقاط شیرجه، برخورد و نقطه دستیابی جریان به ترقیق نهایی در حالت تخلیه در محیط‌های ساکن اقدام گردید.

## ۲- مواد و روشها

### ۲-۱- روش کار

در مطالعه حاضر به منظور مطالعه رفتار جریان در تخلیه سطحی فاضلابهای سنگین، فرایند تخلیه در حالت مختلف جریان خروجی در محیط آزمایشگاه شبیه‌سازی شد. با توجه به اهمیت نقطه شیرجه در الگوی عمومی حرکت و اختلاط جت‌های شناور خروجی از تخلیه‌کننده‌های سطحی، در مرحله اول از تفسیر این آزمایش‌ها، نحوه تغییرات پارامتر  $X_p$  به عنوان حد انتهای پیش‌روی جریان نسبت به محل خروج یا موقعیت نقطه شیرجه، مورد بررسی قرار گرفت، سپس موقعیت نقطه برخورد و محدوده دستیابی جریان به ترقیق نهایی و میزان ترقیق فاضلاب در این دو نقطه با توجه به اهمیت آنها در طراحی تخلیه‌کننده‌های دریابی مورد مطالعه قرار گرفت.

به منظور شبیه‌سازی پدیده در شرایطی مشابه محیط‌های طبیعی، تغییرات دبی فاضلاب خروجی در بازه ۰/۳۳ تا ۱/۴۶ لیتر بر ثانیه، میزان سرعت در بازه ۱۴ تا ۱۰۵ سانتی‌متر بر ثانیه و چگالی فاضلاب خروجی در بازه ۱۰۰۸ تا ۱۰۵۵ گرم بر سانتی‌متر مکعب در محیط‌های ساکن با اعمق ۴۸ تا ۶۵ سانتی‌متر مورد مطالعه قرار گرفت. با توجه به مقیاس موجود بین مدل ساخته شده و نمونه‌های واقعی، بازه تغییرات این متغیرها بر اساس محدوده گزارش شده در نمونه‌های واقعی انتخاب گردید. در جدول ۱ مشخصات آزمایش‌های انجام گرفته در تحقیق حاضر آورده شده است.

<sup>10</sup> Dracos

<sup>11</sup> Kassem et al

<sup>12</sup> Law et al.

آب محیط به داخل، ترقیق فاضلاب خروجی و کاهش غلظت آلانینده در محدوده‌ای از جلوی تخلیه کننده را سبب می‌گردد [۱۸]. الگوی توسعه داده شده در ارتباط با حرکت جریان در تخلیه سطحی فاضلابهای سنگین در محیط‌های ساکن به صورت شکل ۱ ارائه شده است. در این شکل  $X_p$  موقعیت نقطه شیرجه یا حداکثر پیش‌روی جریان نسبت به نقطه خروج در مجاورت سطح،  $X_m$  موقعیت نقطه برخورد جریان با بستر و  $S_m$  میزان ترقیق فاضلاب در محل تماس جبهه فاضلاب خروجی با بستر و  $S_m$  میزان ترقیق حداکثر فاضلاب در محیط ناشی از شارهای اولیه جریان خروجی است. همان‌طور که در این شکل دیده می‌شود جت سنگین خروجی از تخلیه‌کننده‌های سطحی پس از گذار از حالت جت مانند و پلوم شکل، به دلیل شناوری منفی خود در نهایت در بستر پیکره آبی ته‌نشین می‌گردد. در بسترها افقی جریان مذکور در قالب یک جریان عمیق چگال باعث شکل‌گیری یک دشت سور با مرکزیت نقطه برخورد می‌گردد. با آرامش یافتن جریان فاضلاب در بستر و استهلاک نیروهای حاکم، عوامل ایجاد آشفتگی از بین رفته و ترقیق جریان ناشی از شارهای اولیه خروجی متوقف می‌گردد. در طول این ناحیه، جریان با مصرف آشفتگی‌های پیشتر القا شده در فاصله کوتاهی از محل برخورد به ترقیق نهایی خود در محیط می‌رسد.

سابقه تحقیقات انجام شده در ارتباط با تخلیه فاضلابهای سنگین، نشان‌دهنده آن است که مطالعات انجام گرفته طی سالیان گذشته پیشتر بر تخلیه‌کننده‌های مستغرق تک‌ مجرایی تمرکز داشته‌اند. در این زمینه مطالعات رابرتس و همکاران<sup>۱</sup> در سال ۱۹۹۷ زانگ و همکاران<sup>۲</sup> در سال ۱۹۹۸، سیپولینا و همکاران<sup>۳</sup> در سال ۲۰۰۵، نمیلوگلو<sup>۴</sup> و رابرتس<sup>۵</sup> در سال ۲۰۰۶، کیکرت و همکاران<sup>۶</sup> در سال ۲۰۰۷ و بلیننگر<sup>۷</sup> و ژیرکا<sup>۸</sup> در سال ۲۰۰۸ قابل ذکر است [۲۰-۲۴]. در مطالعات ایشان مشخصات ترقیق و اختلاط اولیه در شرایط مختلف فاضلاب خروجی، سرعتهای محیطی و وضعیت تخلیه‌کننده مورد بررسی قرار گرفته و روابطی نیز برای تخمین مشخصات جبهه آلدگی در محیط ارائه گردیده است. علی‌رغم مطالعات گسترده انجام شده بر روی تخلیه فاضلابهای سنگین از تخلیه‌کننده‌های مستغرق، تخلیه سطحی این فاضلابها کمتر مورد توجه قرار گرفته است. هوانستین<sup>۹</sup> و دارکس<sup>۱۰</sup> در سال ۱۹۸۳

<sup>1</sup> Roberts et al.

<sup>2</sup> Zhang et al.

<sup>3</sup> Cipollina et al.

<sup>4</sup> Nemlioglu et al.

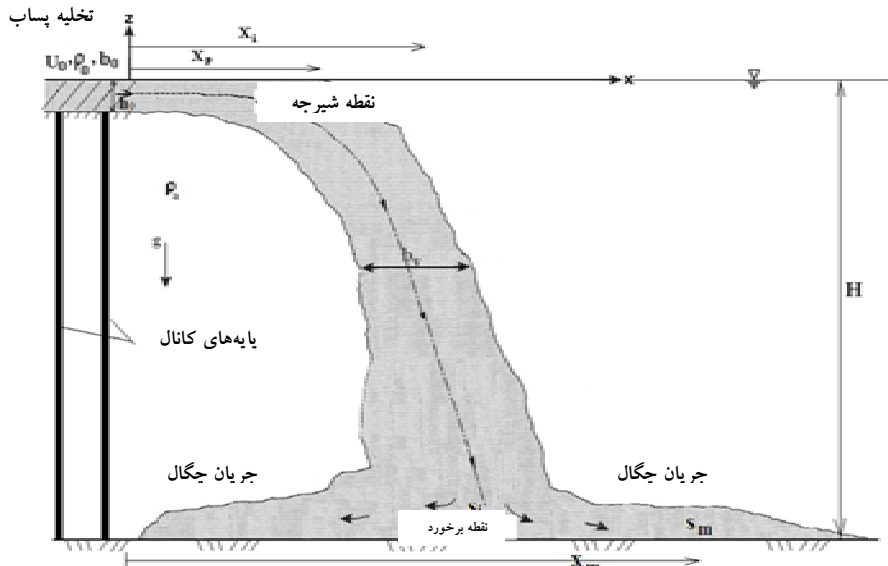
<sup>5</sup> Roberts

<sup>6</sup> Kikkert

<sup>7</sup> Bleninger

<sup>8</sup> Jirka

<sup>9</sup> Hauenstein



شکل ۱- الگوی توسعه داده شده در این مطالعه برای حرکت جریان در تخلیه سطحی فاضلابهای سنگین در محیطهای ساکن

پینسین<sup>۴</sup> و لیست<sup>۵</sup>، رایت<sup>۶</sup> و رابرتس<sup>۷</sup> و رایت به ترتیب در سالهای ۱۹۷۳، ۱۹۷۷ و ۱۹۸۱ بر مبنای تحلیلهای ابعادی، با صرف نظر کردن از تأثیرات شکل تخلیه‌کننده، پارامترهای تأثیرگذار مذکور را در قالب دو مقیاس طولی تخلیه<sup>۸</sup> ( $L_Q$ ) و مقیاس طولی جت به پلوم<sup>۹</sup> ( $L_M$ )، برای پیش‌بینی مشخصات جت‌های شناور خروجی از تخلیه‌کننده‌ای تک مجرایی تجمعی و مورد استفاده قرار داده‌اند [۲۲، ۲۳ و ۳۱]. ایشان با استفاده از استدلالهای فیزیکی و ابعادی، مقیاسهای طولی مذکور را به صورت روابط ۲ و ۳ به منظور ناحیه‌بندی رژیم‌های مختلف جریان پیشنهاد نموده‌اند.

$$L_Q = \frac{Q}{M_0^{1/2}} \quad (2)$$

(۳)

$$L_M = \frac{M_0^{1/2}}{B_0^{1/2}} \quad (3)$$

در بررسی پدیده تخلیه جت‌های شناور به روش مقیاس طولی، مشخصات جریان در یک نقطه مشخص در امتداد مسیر جریان را به صورت زیر می‌توان تابعی از دو پارامتر بالا عنوان کرد [۲۴].

به منظور از بین بردن اثرات ابعادی در مشاهدات انجام گرفته در مقیاس آزمایشگاهی و به منظور استفاده از روابط استخراجی در طراحی نمونه‌های واقعی، از روش مقیاس طولی استفاده شد. در این روش پارامترهای مورد بررسی در قالب پارامتری بی‌بعد در برگیرنده کمیت مورد نظر، ارائه و نوع رابطه میان آنها و متغیرهای تأثیرگذار از طریق مشاهدات آزمایشگاهی تعیین گردید. روش مقیاس طولی پیشتر توسط عابسی و همکاران در سال ۱۳۹۰ بهطور مبسوط تشریح گردید [۳۰].

فیشر و همکاران<sup>۱</sup> در سال ۱۹۷۹ و رابرتس<sup>۲</sup> و رایت<sup>۳</sup> در سال ۱۹۸۳ در بررسی جت‌های شناور در محیط ساکن، مشخصات جریان‌های خروجی را به صورت تابع شارهای حجمی، مومنت، شناوری جریان خروجی، مشخصات تخلیه‌کننده و عمق محیط عنوان نموده‌اند [۱۹ و ۵۰].

$$Q = f(Q_0, M_0, B_0, h_0, b_0, H) \quad (1)$$

که در این رابطه  $Q_0$  شار حجمی،  $M_0$  شار مومنت،  $B_0$  شار شناوری جریان خروجی در یک سیستم ابعادی،  $b_0$  و  $h_0$  عرض و ارتفاع آب در کanal تخلیه و  $H$  عمق آب در محیط پذیرنده محسوب می‌گردد.

<sup>4</sup> Pincine

<sup>5</sup> List

<sup>6</sup> Wright

<sup>7</sup> Discharge Length Scale

<sup>8</sup> Jet to Plume Length Scale

<sup>1</sup> Fischer

<sup>2</sup> Roberts

<sup>3</sup> Wright

جدول ۱- مشخصات آزمایش‌های انجام گرفته در تحقیق حاضر برای تعیین مشخصات نقطه شیرجه، برخورد و ترقیق نهایی در تخلیه سطحی فاضلابهای سنگین

پارامترهای محاسبه شده				کانال تخلیه				مشخصات محیط پذیرنده				مشخصات جریان خروجی					
L <sub>M</sub>	L <sub>Q</sub>	Fr <sub>d</sub>	Fr	g'	$\frac{h_0}{H_a}$	h <sub>0</sub>	B <sub>0</sub>	$\rho_a$	Ha	S	T	$\rho_0$	S	u <sub>0</sub>	Q <sub>0</sub>	ردیف	
۲۲/۸	۳/۴۲	۹/۵۹	۱/۶۲	۲۸/۲۲	۰/۰۲۷	۱/۸	۶/۴	۰/۹۹۸۳	۶۵	۱/۵	۲۴/۵	۱/۰۲۷	۲۴/۵	۳۹/۶۶	۶۰/۳۷	۸۰۰	۱
۱۳/۶۲	۳/۶۹	۱۳/۶۲	۲/۳۵	۲۹/۳۸	۰/۰۳۲	۲/۱	۶/۴	۰/۹۹۸۵	۶۵/۵	۱/۵	۲۴/۵	۱/۰۲۸۴	۲۴/۵	۴۱/۱۶	۱۰۷/۰۴	۱۴۶۱/۱۱	۲
۲۳/۲۸	۲/۷۷	۱۸/۲۵	۲/۱۳	۲۸/۸۶	۰/۰۱۸	۱/۲	۶/۴	۰/۹۹۸۴	۶۵	۱/۵	۲۴/۵	۱/۰۲۷۸	۲۴/۵	۴۰/۴۹	۱۰۵/۷۶	۸۲۵	۳
۲۴/۷۳	۱/۹۱	۲۲/۷۲	۲/۸۶	۲۸/۸۴	۰/۰۰۹	۰/۶	۶/۴	۰/۹۹۸۳	۶۵/۳	۱/۵	۲۴/۵	۱/۰۲۷۶	۲۴/۵	۴۰/۴۹	۶۴/۵۱	۳۶۸/۶۱	۴
۲۶/۸۲	۳/۸۶	۸/۹۹	۱/۵	۲۷/۶۴	۰/۰۳۵	۲/۳	۶/۴	۰/۹۹۸۵	۶۴/۳	۱/۲۵	۲۴/۵	۱/۰۲۶۶	۲۴/۵	۳۸/۸۳	۷۱/۷	۱۰۷۲/۲۲	۵
۳۱/۸۵	۴/۳۴	۸/۹	۱/۵۱	۲۷/۹	۰/۰۴۴	۲/۹	۶/۴	۰/۹۹۸۳	۶۵	۱/۲۵	۲۴/۵	۱/۰۲۶۷	۲۴/۵	۳۹/۲۳	۸۰/۷۵	۱۰۲۲/۲۲۸	۶
۱۷/۶۸	۲/۶۷	۱۰/۲۱	۱/۷۱	۲۷/۱۳	۰/۰۲۲	۱/۱	۶/۴	۰/۹۹۸۴	۵۰/۲	۱/۲۵	۲۴/۵	۱/۰۲۶	۲۴/۵	۳۸/۱۷	۵۶/۳۳	۴۰۲/۷۷	۷
۲۲/۲۹	۳/۱۲	۱۰/۷۶	۱/۷۸	۲۷/۱۳	۰/۰۳	۱/۵	۶/۴	۰/۹۹۸۴	۵۰	۱/۲۵	۲۴/۵	۱/۰۲۶	۲۴/۵	۳۸/۱۷	۶۸/۶۶	۶۶۹/۴۴	۸
۳۳/۸۱	۲/۵۲	۲۱/۲۶	۲/۱۸	۲۲/۰۴	۰/۰۲	۱	۶/۴	۰/۹۹۸۶	۴۹	۱/۵	۲۴/۵	۱/۰۲۱۱	۲۴/۵	۳۱/۲۸	۹۹/۸	۶۳۸/۸۸	۹
۲۰/۵۸	۲/۲۶	۱۵/۵	۲/۳۲	۲۲/۰۴	۰/۰۱۶	۰/۸	۶/۴	۰/۹۹۸۶	۴۸	۱/۵	۲۴/۲۵	۱/۰۲۱	۲۴/۲۵	۳۱/۲۸	۶۵/۱	۳۳۳/۳۳	۱۰
۲۸/۲۶	۲/۱۳	۲۳/۱۳	۲/۳۷	۲۰/۹۲	۰/۰۱۴	۰/۷	۶/۴	۰/۹۹۸۶	۴۸	۱/۵	۲۴/۲۵	۱/۰۱۹۹	۲۴/۲۵	۲۹/۷۷	۸۸/۵۲	۴۰۲/۷۷	۱۱
۲۵/۴۲	۲/۸۶	۱۳/۴۷	۱/۷۲	۱۶/۱۴	۰/۰۲۶	۱/۲۵	۶/۴	۰/۹۹۸۶	۴۸	۱/۵	۲۴/۲۵	۱/۰۱۰۱	۲۴/۲۵	۲۳/۳۳	۶۰/۵۱	۴۹۱/۶۶	۱۲
۲۲/۷۱	۲/۶۷	۱۳/۸۲	۱/۷۷	۱۶/۱۴	۰/۰۲۲	۱/۱	۶/۴	۰/۹۹۸۶	۴۸/۵	۱/۵	۲۴/۵	۱/۰۱۰۱	۲۴/۵۲	۲۳/۳۳	۵۸/۲۷	۴۱۸/۹۶	۱۳
۲۰/۶۱	۲/۵۳	۱۲/۶۳	۱/۶۶	۱۶/۱۴	۰/۰۲	۱	۶/۴	۰/۹۹۸۶	۴۷/۳	۱/۵	۲۴/۵	۱/۰۱۰۱	۲۴	۲۳/۳۳	۵۲/۰۸	۳۳۳/۳۳	۱۴
۲۴/۱	۲/۹	۱۲/۴۲	۲/۱	۲۸/۲۵	۰/۰۲۷	۱/۳	۶/۴	۰/۹۹۸۶	۴۷/۵	۱/۵	۲۴/۵	۱/۰۲۷۴	۲۴	۳۹/۸۱	۷۵/۲۷	۶۳۶/۱۱	۱۵
۲۱/۱۳	۲/۴۲	۱۴/۳۲	۱/۸	۱۵/۵۸	۰/۰۱۸	۰/۹	۶/۴	۰/۹۹۸۶	۴۸/۴	۱/۵	۲۴/۵	۱/۰۱۴۵	۲۴	۲۲/۵۷	۵۳/۶۵	۳۱۳/۸۸	۱۶
۱۹/۱۹	۲/۱۳	۱۵/۷۷۱	۱/۹۸	۱۵/۵۸	۰/۰۱۴	۰/۷	۶/۴	۰/۹۹۸۶	۴۸/۵	۱/۵	۲۴/۵	۱/۰۱۴۵	۲۴	۲۲/۵۷	۵۱/۸۹	۲۲۸/۱۱	۱۷
۲۱/۴۹	۲/۵۴	۱۳/۴۶	۱/۹۹	۲۱/۴۸	۰/۰۲	۱	۶/۴	۰/۹۹۸۶	۴۸	۱/۵	۲۴/۵	۱/۰۲۰۵	۲۴	۳۰/۵۲	۶۲/۳۹	۴۰۵/۵۵	۱۸
۱۹/۶۷	۲/۲	۱۵/۲۸	۲/۲۴	۲۱/۲	۰/۰۱۵	۰/۷۵	۶/۴	۰/۹۹۸۶	۴۸/۲	۱/۵	۲۴/۵	۱/۰۲۰۲	۲۴	۳۰/۱۵	۶۰/۹۶	۲۷۹/۲۲	۱۹
۱۶/۰۷	۲/۱۳	۱۳/۱۵	۱/۹۳	۲۱/۲	۰/۰۱۴	۰/۷	۶/۴	۰/۹۹۸۶	۴۷	۱/۵	۲۴/۵	۱/۰۲۰۲	۲۴	۳۰/۱۵	۵۰/۶۷	۲۲۰/۵۵	۲۰
۱۷/۶۶	۲/۲۸	۱۳/۰۸	۱/۵۲	۱۳/۳۴	۰/۰۱۶	۰/۸	۶/۴	۰/۹۹۸۶	۴۷	۱/۲۵	۲۴/۵	۱/۰۱۲۲	۲۴	۳۰/۵۸	۴۲/۷۳	۲۲۲/۲۲	۲۱
۱۸/۰۲	۲/۶۷	۱۰/۰۸	۱/۰۸	۹/۹۵	۰/۰۲۱	۱/۱	۶/۴	۰/۹۹۸۵	۵۱/۵	۱/۲۵	۲۴/۵	۱/۰۰۸۵	۲۴	۱۴/۹۹	۳۵/۷۴	۲۵۵/۵۵	۲۲
۲۴	۲/۵۴	۱۵/۰۳	۱/۰۱	۹/۹۵	۰/۰۱۹	۱	۶/۴	۰/۹۹۸۵	۵۱	۱/۲۵	۲۴/۵	۱/۰۰۸۵	۲۴	۱۴/۹۹	۴۷/۴۳	۳۰۸/۳۳	۲۳
۲۳/۲	۲/۳۵	۱۶/۴۱	۱/۶۵	۹/۹۵	۰/۰۱۶	۰/۸۵	۶/۴	۰/۹۹۸۴	۵۱/۵	۱/۲۵	۲۴	۱/۰۰۸۵	۲۴	۱۴/۹۹	۴۷/۷۳	۲۶۳/۸۸	۲۴
۱۹/۲۲	۲/۵۱	۱۲/۲۲	۱/۶۲	۱۷/۱۳	۰/۰۱۹	۰/۹۷	۶/۴	۰/۹۹۸۶	۵۱/۲	۱/۲۵	۲۴	۱/۰۱۰۸	۲۴	۲۴/۷	۵۰/۲۲	۳۱۶/۶۶	۲۵

ادامه جدول ۱- مشخصات آزمایش‌های انجام گرفته در تحقیق حاضر برای تعیین مشخصات نقطه شیرجه، برخورد و ترقیق نهایی در تخلیه سطحی فاضلابهای سنگین

		پارامترهای محاسبه شده						کانال تخلیه			مشخصات محیط پذیرنده			مشخصات جریان خروجی			
L <sub>M</sub>	L <sub>Q</sub>	Fr <sub>d</sub>	Fr	g'	$\frac{h_0}{H_a}$	$h_0$	B <sub>0</sub>	$\rho_a$	Ha	S	T	$\rho_0$	S	u <sub>0</sub>	Q <sub>0</sub>	ردیف	
۱۵/۹۵	۲/۷۳	۹	۱/۰۵	۲۹/۴۶	۰/۰۲۲	۱/۱۵	۶/۴	۰/۹۹۸۶	۰۱	۱/۰۵۲	۲۴	۱/۰۲۸۴	۲۴	۴۱/۳	۵۲/۳۹	۳۹۱/۶۶	۲۶
۶/۶	۳/۲۷	۶/۶	۱/۲۴	۳۵/۰۶	۰/۰۳۲	۱/۶۵	۶/۴	۰/۹۹۸۶	۵۰/۵	۱/۵	۲۴	۱/۰۳۴۱	۲۴	۴۸/۷۷	۵۰/۲۴	۵۳۸/۸۸	۲۷
۱۵/۰۳	۲/۹	۷/۷۳	۱/۲۵	۲۶/۰۸	۰/۰۲۵	۱/۳	۶/۴	۰/۹۹۸۵	۵۰	۱/۵	۲۴/۵	۱/۰۲۵۱	۲۴	۳۶/۷۴	۴۵/۰۳	۳۸۰/۰۵	۲۸
۱۶/۳	۳/۲۷	۷/۰۱	۱/۳۸	۳۸/۲۱	۰/۰۳۲	۱/۶۵	۶/۴	۰/۹۹۸۵	۵۱	۱/۵	۲۴	۱/۰۳۷۴	۲۴	۵۲/۹۳	۵۵/۶۸	۵۹۷/۲۲	۲۹
۶/۶۲	۳/۱۲	۶/۶۲	۱/۳	۳۸/۲۱	۰/۰۲۹	۱/۵	۶/۴	۰/۹۹۸۵	۵۱/۲	۱/۵	۲۴	۱/۰۳۷۴	۲۴	۵۲/۹۳	۵۰/۱۵	۴۸۸/۸۸	۳۰
۱۳/۲۹	۲/۹	۶/۸	۱/۰۹	۲۵/۱۵	۰/۰۲۵	۱/۳	۶/۴	۰/۹۹۸۵	۵۱/۳	۱/۵	۲۴	۱/۰۲۴۱	۲۴	۳۵/۴۹	۳۹/۱۱	۳۳۰/۰۵	۳۱
۱۱/۵	۲/۵۴	۷/۲۴	۱/۱۵	۳۶/۳۲	۰/۰۱۹	۱	۶/۴	۰/۹۹۸۵	۵۱/۶	۱/۵	۲۳/۵	۱/۰۲۴۱	۲۴	۳۵/۴۹	۳۶/۳۲۸	۲۳۶/۱۱	۳۲
۱۱/۳	۲/۲	۸/۷۸	۱/۴	۲۵/۱۸	۰/۰۱۴	۰/۷۵	۶/۴	۰/۹۹۸۵	۵۰/۸	۱/۵	۲۳/۵	۱/۰۲۴۱	۲۴	۳۵/۴۹	۳۸/۱۷	۱۸۶/۱۱	۳۳
۱۲/۵۸	۱/۹۷	۱۱/۰۶	۱/۰۵	۱۷/۷۶	۰/۰۱۱	۰/۸	۶/۴	۰/۹۹۸۵	۵۰/۷	۱/۵	۲۳/۵	۱/۰۱۶۶	۲۴	۲۵/۰۳	۳۷/۷۴	۱۴۷/۲۲	۳۴
۱۲/۷	۱/۸	۱۳/۴۸	۱/۸۱	۱۷/۷۶	۰/۰۰۹	۰/۵	۶/۴	۰/۹۹۸۵	۵۲	۱/۵	۲۳/۵	۱/۰۱۶۶	۲۴	۲۵/۰۳	۴۰/۱۷	۱۳۰/۰۵	۳۵
۸/۳۲	۲/۹	۱۴/۲۸	۰/۵۹	۱۹/۱۵	۰/۰۲۱	۱/۳	۶/۴	۰/۹۹۸۵	۶۰/۲	۱/۵	۲۳/۵	۱/۰۱۹	۲۳/۰	۲۷/۱۹	۲۱/۳۶	۱۸۰/۰۵	۳۶
۶/۹۱	۲/۹	۳/۰۵	۰/۴۹	۱۹/۱۵	۰/۰۲۱	۱/۳	۶/۴	۰/۹۹۹۳	۶۰	۱/۵	۱۹	۱/۰۱۹	۲۳/۰	۲۷/۱۹	۱۷/۰۵	۱۵۰	۳۷
۵/۶۱	۲/۷۳	۳/۱۶	۰/۴۴	۱۹/۱۵	۰/۰۱۹	۱/۱۵	۶/۴	۰/۹۹۹۳	۶۱	۱/۵	۱۹/۲	۱/۰۱۹	۲۳/۰	۲۷/۱۹	۱۴/۸۶	۱۱۱/۱۱	۳۸
۱۰/۱۵	۳/۰۷	۴/۸۱	۰/۶۷	۱۹/۱۵	۰/۰۲۴	۱/۴۵	۶/۴	۰/۹۹۹۴	۶۰/۶	۱/۵	۱۹/۲	۱/۰۱۹	۲۲/۰	۲۷/۱۹	۲۵/۳۴۸	۲۳۸/۸۸	۳۹
۱۱/۷۸	۳/۲۷	۵/۰۶	۰/۷	۱۹/۱۵	۰/۰۲۷	۱/۶۵	۶/۴	۰/۹۹۹۴	۶۰/۸	۱/۵	۱۹	۱/۰۱۹	۲۲/۰	۲۷/۱۹	۲۸/۴۹	۳۰۰/۰۵	۴۰
۱۱/۱۴	۳/۲۷	۴/۷۶	۰/۶۶	۱۹/۱۵	۰/۰۲۷	۱/۶۵	۶/۴	۰/۹۹۹۴	۶۱	۱/۵	۱۹	۱/۰۱۹	۲۲/۰	۲۷/۱۹	۲۶/۹۲	۲۸۸/۸۸	۴۱
۷/۱۹	۳/۴۲	۲/۹	۰/۶۸	۵۴/۴۸	۰/۰۳	۱/۸	۶/۴	۰/۹۹۹۵	۶۰/۶	۱/۲۵	۱۹	۱/۰۰۵	۲۳/۰	۷۳/۸۳	۲۸/۷۲	۳۳۶/۱۱	۴۲
۶/۶	۳/۲۷	۲/۸۴	۰/۶۶	۵۴/۴۸	۰/۰۲۷	۱/۶۵	۶/۴	۰/۹۹۹۵	۶۰	۱/۲۵	۱۹	۱/۰۰۵	۲۲/۰	۷۳/۸۳	۲۶/۹۲	۲۸۸/۸۸	۴۳
۵/۶۵	۳/۰۹	۲/۶۲	۰/۶۱	۵۴/۴۸	۰/۰۲۵	۱/۵	۶/۴	۰/۹۹۹۵	۶۲	۱/۲۵	۱۹	۱/۰۰۵	۲۲/۰	۷۳/۸۳	۲۳/۷۲	۲۲۷/۷۷	۴۴
۵/۰۳	۲/۷۹	۲/۷۵	۰/۶۴	۵۴/۴۸	۰/۰۲	۱/۲	۶/۴	۰/۹۹۹۵	۶۲	۱/۲۵	۱۹	۱/۰۰۵	۲۲/۰	۷۳/۸۳	۲۲/۲۵	۱۷۳/۶۱	۴۵

به این ترتیب براساس عمق قرائت شده در دهانه خروجی کanal، سرعت جریان در محل تخلیه فاضلاب محاسبه گردید.

فاضلاب مورد استفاده در آزمایش، آب شور ناشی از انحلال کلریدسدیم<sup>۲</sup> در آب شیرین بود که جریانی از پس از در غلطهای مختلف با جرمای حجمی متفاوت ایجاد می نمود. به منظور تعیین مشخصات ظاهری پلوم در پیکره آبی، از رنگ محلول در آب به عنوان آشکارساز و ثبت مسیر حرکت در زمینه نور سفید با استفاده از دوربین دیجیتال سونی مدل DCR-SR47 استفاده شد. تصاویر دیجیتال برداشت شده به منظور تعیین مشخصات ظاهری جبهه فاضلاب در محیط مورد پردازش رقومی قرار گرفتند. روش رقومی توسعه داده شده برای تحلیل تصاویر به دست آمده پیشتر توسط عابسی و همکاران در سال ۱۳۹۰ تشریح گردیده است [۳۰]. با استفاده از این روش از طریق ردیابی شدت نور سیاه در پیکسل های افقی مجاور سطح، موقعیت نقطه جدایی جریان از سطح یا محدوده نقطه شیرجه تعیین می گردد. به روش مشابه از طریق تعیین حداقل شدت نور در پیکسل های افقی نزدیک به بستر، موقعیت نقطه برخورد نیز برآورد می شود. در این مطالعه همچنین به منظور تعیین میزان اختلاط و ترقیق فاضلاب شور خروجی در محیط از تعداد ۲۰ حسگر کتروشیمیایی هدایت الکتریکی از نوع YK-2014CD از محصولات شرکت لوترون<sup>۳</sup> استفاده شد. این حسگرهای از طریق محلولهای استاندارد صحت سنجی شدند. حسگرهای مذکور از طریق یک صفحه الکترونیکی که به منظور اتصال آنها و اندازه گیری در زمان از مشخصات پلوم طراحی شده است، برای نمونه برداری از میزان هدایت الکتریکی آب در نقاط مختلف پلوم مورد استفاده قرار گرفتند. مقادیر اندازه گیری شده هدایت الکتریکی از طریق کابل انتقال داده به طور همزمان برای ذخیره سازی و رویت به رایانه فرستاده می شدند. سوری محل نمونه برداری که به این ترتیب با استفاده از هدایت الکتریکی قابل محاسبه است، در واقع شاخص میزان ترقیق فاضلاب در هر نقطه از جبهه آلدگی در محیط خواهد بود. در شکل ۲ نمایی از طرح سه بعدی مدل آزمایشگاهی مورد استفاده در تحقیق حاضر آورده شده است.

### ۳- نتایج و بحث

جریان سنگین تخلیه شونده از کanal های سطحی در محیط های ساکن تحت تأثیر دو نیروی افقی مومنت و نیروی عمودی شناوری در محیط پذیرنده پیش روی می نماید. در بخش ابتدایی مسیر ناشی

$$\Theta = f\left(\frac{H}{L_Q}, \frac{H}{L_M}\right) \quad (4)$$

رابرتز و رایت در سال ۱۹۸۱ و فیشر و همکاران در سال ۱۹۷۹ در بررسی جت های خروجی با شناوری بالا، نقش شار حجمی ( $Q_0$ ) در مقابل شار مومنت ( $M_0$ ) و شار شناوری ( $B_0$ ) را ناچیز دانسته و مشخصات جریان را تها وابسته به مقیاس طولی  $L_M$  عنوان نموده اند [۲۴ و ۱۹]. به این ترتیب، ایشان مشخصات جریان در جت های شناور را به صورت رابطه زیر صرفاً تابعی از پارامتر بی بعد  $\frac{H}{L_M}$  ارائه نموده اند

$$\Theta = f\left(\frac{H}{L_M}\right) \quad (5)$$

رابرتز و همکاران در سال ۱۹۹۷ و بلینگر و ژیرکا در سال ۲۰۰۸ در مطالعات خود به منظور توسعه گراف های تجربی حاکم، به ترتیب پارامتر بی بعد  $\frac{S}{Fr_d}$  را در تعیین میزان ترقیق و پارامتر  $\frac{X}{L_M}$  را در تعیین مشخصات حرکت جریان مورد استفاده قرار داده اند [۲۲ و ۲۸]. در این پارامترها  $S$  میزان ترقیق فاضلاب در محیط بوده و از رابطه ۶ به دست می آید

$$S = \frac{C - C_a}{C_0 - C_a} \quad (6)$$

که در این رابطه  $C_0$  هدایت الکتریکی فاضلاب،  $C$  هدایت الکتریکی جریان در نقطه مورد بررسی و  $C_a$  هدایت الکتریکی زمینه آلاینده در محیط پذیرنده است.

### ۲-۲- مدل آزمایشگاهی

مدل آزمایشگاهی مورد استفاده در این مطالعه فلومی به طول ۶ متر، عرض ۱/۸۰ متر و عمق ۱/۵۰ متر بود که از آب شیرین با چگالی ۰/۹۹۸ گرم بر سانتی متر مکعب تا ارتفاع مشخص پر شد (شکل ۲). تخلیه کننده سطحی مورد مطالعه در این تحقیق یک کanal مستطیلی بود که از طریق یک سیستم پمپاژ، فاضلاب تولیدی را با سرعت های مختلف در مجاورت سطح محیط پذیرنده تخلیه می نمود. دبی عبوری از تخلیه کننده از طریق یک دبی سنج الکترو مغناطیسی مدل ولتک کوپا<sup>۱</sup>، ۴۳۰۰ نصب شده در مسیر جریان اندازه گیری می شد.

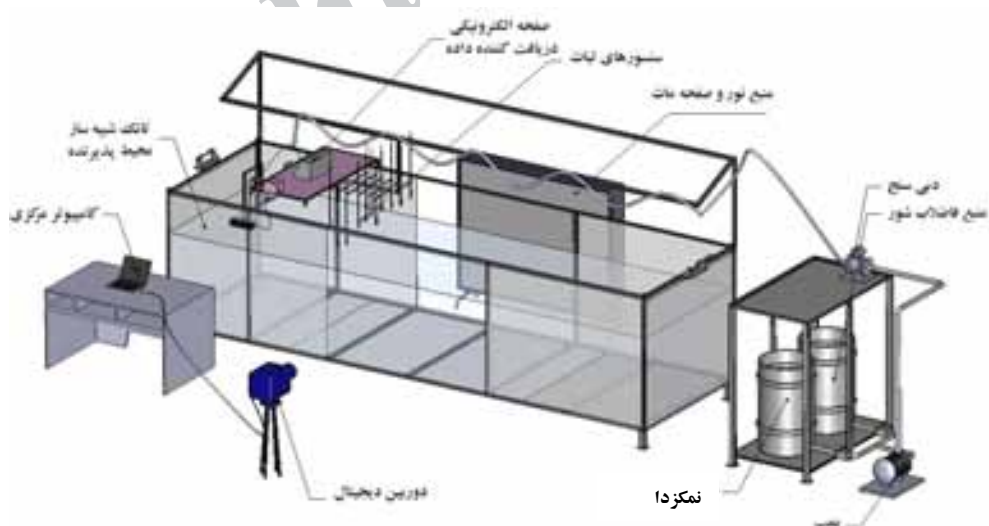
<sup>1</sup> WELLTECH COPA-XE WT 4300

<sup>2</sup> NaCl  
<sup>3</sup> Lutron

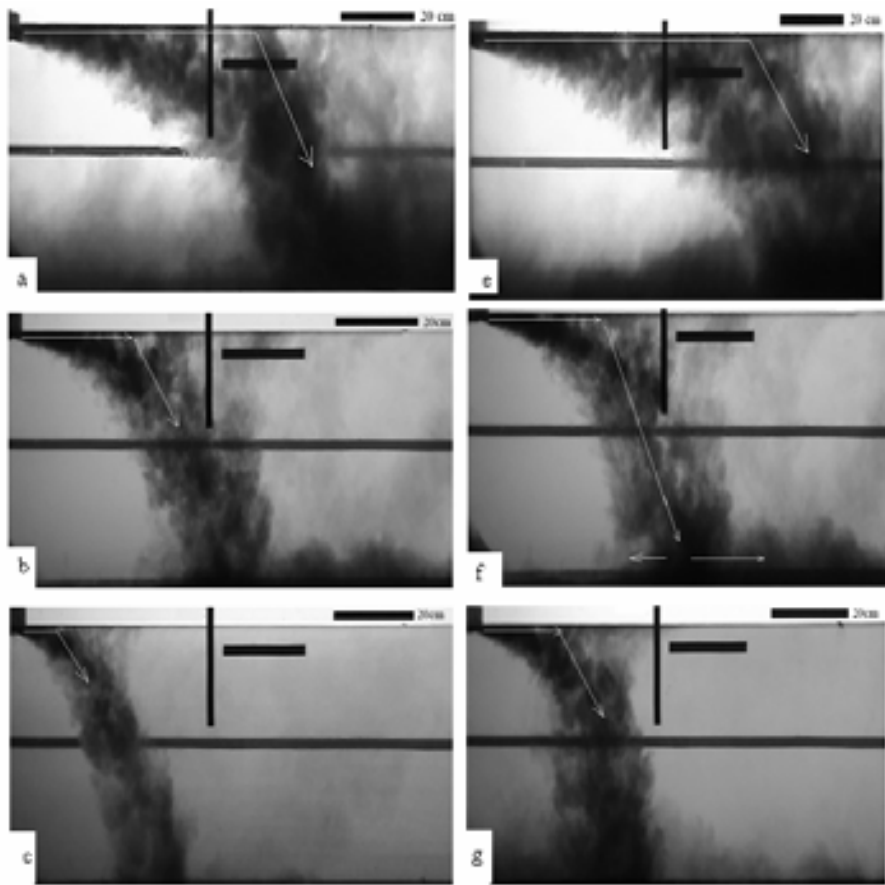
برای ترقیق فاضلاب قبل از برخورد آن به بستر دریا فراهم می‌سازد. با توجه به تأثیرات محتمل عمق در میزان ترقیق فاضلاب در نقطه برخورد، به این ترتیب عمق آب در نقطه شیرجه باید به عنوان عمق مؤثر محیط در نظر گرفته شود. علاوه بر شار مومنت جریان خروجی، موقعیت نقطه شیرجه با تغییرات شناوری فاضلاب خروجی نیز تغییر خواهد کرد. در تصاویر شکل ۳ مشاهده می‌شود که در فاضلابهای شورتر، به ازای شرایط یکسان جت خروجی، موقعیت نقطه شیرجه در فاصله‌ای نزدیک‌تر به محل خروجی اتفاق می‌افتد.

در شکل ۴ نتایج آزمایش‌های انجام شده در ارتباط با موقعیت نقطه شیرجه نسبت به عمق محیط در حالتی که هر دو پارامتر نسبت به مقیاس طولی جت به پلوم ( $L_M$ ) نرمال شده‌اند ترسیم گردیده است. مقدار  $L_M$  کمیتی ثابت نبوده و برای هر آزمایش با توجه به مشخصات جریان خروجی به‌طور مجزا محاسبه گردید. در این حالت پارامترهای بدست آمده برای همان آزمایش با تقسیم به مقیاس طولی به‌دست آمده برای همان آزمایش با قرارگیری در کنار یکدیگر الگوی عمومی و بی‌بعد رفتار جریان در محیط را نشان خواهند داد. در شکل ۴ ملاحظه می‌شود که موقعیت نرمال نقطه شیرجه ( $\frac{X_p}{L_M}$ ) در آزمایش‌های مختلف در محدوده  $1/0.5$  واقع می‌شود ( $1.05 = \alpha_p L_M$ ,  $\alpha_p = 1.05$ ). این مقدار به این ترتیب محدوده انتقال جریان از حالت جت به پلوم یا موقعیت نقطه شیرجه در تخلیه سطحی فاضلابهای سنگین را نشان می‌دهد.

از سرعت اولیه جریان، حرکت جت به صورت افقی و در مجاورت سطح خواهد بود. با کاهش اثر مومنت در محدوده‌ای که منطقه شیرجه نامیده می‌شود، نیروی شناوری غلبه یافته و جریان سطحی با از دست دادن ارتباط خود با سطح آزاد آب به صورت یک پلوم مستغرق تغییر شکل می‌یابد. حرکت فاضلاب در این ناحیه تحت تأثیر برایند نیروهای افقی و عمودی حاکم، به صورت مایل است. در صورت عدم وجود لایه‌بندی وزنی در محیط، جریان به حرکت پایین رونده خود در محدوده پلوم‌شکل ادامه داده و در نقطه‌ای تحت عنوان نقطه تماس به بستر محیط پذیرنده برخورد می‌نماید. میزان پیشروی جریان در محیط و محدوده شکل‌گیری نقطه برخورد در این حالت تابعی از شار مومنت و چگالی سیال خروجی (شناوری سیال) است. در شکل ۳ مسیر حرکت فاضلاب سنگین خروجی از تخلیه‌کننده‌های سطحی در محیط‌های ساکن در شرایط مختلف شارهای جریان خروجی آورده شده است. بررسی مقایسه‌ای این تصاویر به‌طور آشکار نحوه تغییر مشخصات حرکت ناشی از تغییر شارهای اولیه جریان خروجی را نشان می‌دهد. همان‌طور که در این شکل ملاحظه می‌شود با افزایش سرعت تخلیه، جت ایجاد شده به واسطه مومنت اولیه خود مسیر طولانی‌تری را در مجاورت سطح طی نموده و نقطه شیرجه در فاصله بیشتری از محل خروجی به وقوع می‌پیوندد. با طولانی‌تر شدن مسیر حرکت جریان، محدوده برخورد جریان با بستر نیز در فاصله طولانی‌تری حادث خواهد شد. در سواحل شنی شبیه‌دار حرکت طولانی‌تر جریان در مجاورت سطح، باعث دستیابی جریان به عمقهای بیشتر و طولانی‌تر شدن مسیر در محدوده پلوم‌شکل می‌شود. این موضوع امکان بیشتری را



شکل ۲- نمایی سه بعدی از مدل آزمایشگاهی توسعه داده شده در تحقیق حاضر



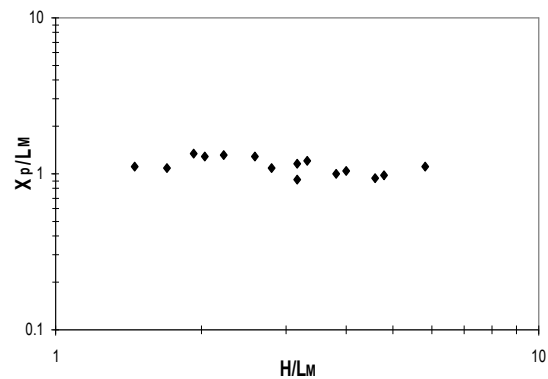
شکل ۳- مسیر حرکت و محل نقطه سقوط در تخلیه فاضلاب سنگین از کانال های ساحلی مستطیلی

$$\rho = 1.030 \text{ g/cm}^3, u_0 = 40 \text{ cm/s} \quad (c) \quad \rho = 1.030 \text{ g/cm}^3, u_0 = 52 \text{ cm/s} \quad (b) \quad \rho = 1.030 \text{ g/cm}^3, u_0 = 72 \text{ cm/s} \quad (a)$$

$$\rho = 1.015 \text{ g/cm}^3, u_0 = 40 \text{ cm/s} \quad (g) \quad \rho = 1.015 \text{ g/cm}^3, u_0 = 52 \text{ cm/s} \quad (f) \quad \rho = 1.015 \text{ g/cm}^3, u_0 = 72 \text{ cm/s} \quad (e)$$

سنگین پیش بینی غلط و موقعیت نقطه برخورد به این دلیل حائز اهمیت است که این نقطه اولین نقطه تماس فاضلاب با بستر دریا که محل زندگی و تولید مثل انواع جانوران کفری و ماهی ها است، محسوب می گردد. دستیابی به ترقیق حداقل فاضلاب در این نقطه هدف اصلی در طراحی تخلیه کننده های دریایی محسوب می گردد. در شکل ۵ نتایج آزمایش های انجام شده در ارتباط با موقعیت نقطه برخورد جریان با کف، ارائه شده است. همان طور که در این شکل مشاهده می شود موقعیت نقطه برخورد جریان با بستر در تخلیه های سطحی فاضلاب های سنگین مقداری غیر ثابت بوده که با تغییرات عمق محیط پذیرنده تغییر می نماید. رابطه به دست آمده در این شکل نحوه تغییرات موقعیت نقطه برخورد نسبت به عمق محیط و پارامترهای تخلیه را نشان می دهد.

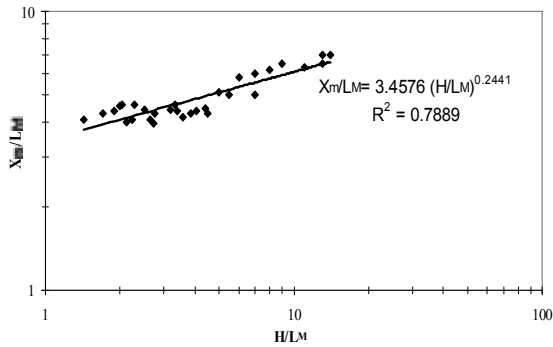
در شکل ۶ نیز نتایج به دست آمده از حسگرهای الکتروشیمیایی هدایت الکتریکی در ارتباط با غلط فاضلاب در نقطه برخورد ترسیم گردیده است. در این شکل میزان ترقیق جریان در نقطه



شکل ۴- نتایج بدست آمده از آزمایش های مختلف در ارتباط با موقعیت نقطه شیرجه در تخلیه سطحی فاضلاب های سنگین در محیط های ساکن

جریان خروجی با از دست دادن تماس خود با سطح با طی فاصله ای کوتاه از نقطه شیرجه در نهایت به بستر محیط پذیرنده برخورد می نماید. در طراحی تخلیه کننده های سطحی فاضلاب

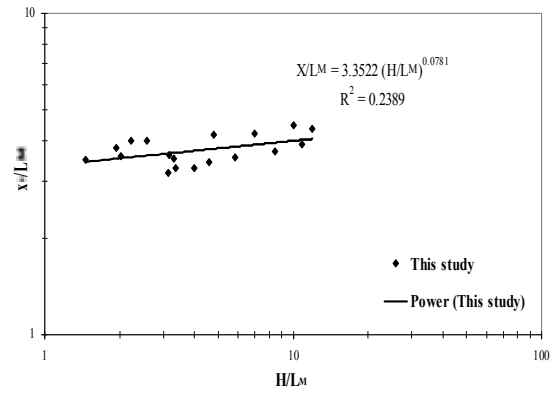
خروجی بوده و بعد از آن تنها کاهش جزئی در غلظت آلاینده آن هم ناشی انتقال یا دیفیوژن مولکولی به وقوع خواهد پیوست. تعیین موقعیت دقیق نقطه دستیابی جریان به ترقیق نهایی از طریق ارزیابی نحوه زوال آشفتگی یا استهلاک نوسانات غلظت در امتداد مسیر حرکت جریان ممکن است. به اعتقاد رابرتس و همکاران در سال ۱۹۹۷ زمانی که نوسانات غلظت در امتداد مسیر جریان به حداقل میزان خود می‌رسد، نیروهای القا کننده آشفتگی از بین رفته و جریان به ترقیق نهایی خود در محیط می‌رسد [۲۲]. ایشان بر این اساس، موقعیتی را که در آن ترقیق جریان به صورت مجانب در آمده را به عنوان نقطه دستیابی جریان به ترقیق نهایی پیشنهاد نموده‌اند. این نقطه در واقع ابتدای محدوده‌ای است که غلظت جریان بعد از آن، به‌طور محسوسی تغییر نخواهد کرد. در این مطالعه به منظور تعیین موقعیت نقطه مذکور از داده‌های به دست آمده از حسگرهای جانمایی شده در مجاورت بستر استفاده شد. در این بخش ابتدای محدوده‌ای که ترقیق جریان در آن به حالت مجانب‌وار خود می‌رسد به عنوان نقطه دستیابی جریان ترقیق نهایی انتخاب گردید. به این ترتیب با ترسیم نتایج به دست آمده، نمودار شکل ۷ برای تعیین موقعیت دستیابی جریان به ترقیق نهایی در محیط‌های ساکن با بستر افقی به دست آمد.



شکل ۷- موقعیت رسیدن جبهه آلوگی به حداکثر میزان ترقیق خود در محیط در تخلیه سطحی فاضلابهای با سنگین از کانال‌های مستطیلی در بسترهای افقی

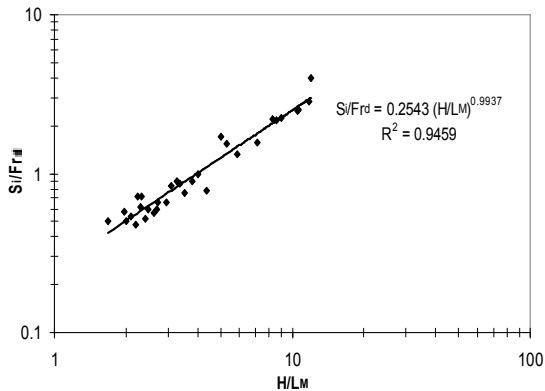
در این شکل ملاحظه می‌شود که همانند حالت قبل، موقعیت دستیابی جریان به ترقیق نهایی، تابعی از عمق محیط پذیرنده ( $H$ ) و پارامترهای جریان تخلیه شونده ( $L_M$ ) است. همان‌طور که در این رابطه مشاهده می‌شود موقعیت این نقطه نسبت به نقطه برخورد به میزان بیشتری به عمق محیط و به میزان کمتری به شارهای جریان خروجی بستگی دارد.

در شکل ۸ نتایج به دست آمده از حسگرهای هدایت الکتریکی در ارتباط با میزان ترقیق نهایی جریان بر اثر شارهای اولیه خروجی



شکل ۵- نمودار بی بعد به دست آمده در ارتباط با موقعیت نقطه برخورد در تخلیه سطحی فاضلابهای چگال در محیط‌های ساکن

برخورد نسبت به عدد فرود چگالی<sup>۱</sup> نرمال شده ( $S/Frd$ ) و در روی محور عمودی و پارامتر نرمال عمق نسبت به مقیاس طولی جت به پلوم ( $H/L_M$ ) در محور افقی ترسیم گردیده است.

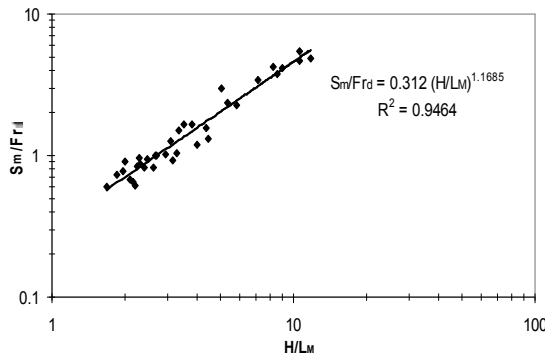


شکل ۶- میزان ترقیق جریان‌های سطحی فاضلابهای سنگین در نقطه برخورد با بستر

در این شکل ملاحظه می‌شود که نحوه تغییرات میزان ترقیق جریان در نقطه برخورد، وابستگی بیشتری نسبت به پارامتر ( $H/L_M$ ) دارد. رابطه قوی میزان ترقیق در نقطه برخورد با عمق محیط و شارهای جریان خروجی بیانگر نقش قابل توجه پارامترهای تخلیه در دستیابی جریان به ترقیق مناسب است.

بعد از برخورد، جریان با استقرار در مجاورت بستر محیط پذیرنده، با مصرف باقیمانده انرژی و آشفتگی‌های پیشتر القاء شده به ترقیق نهایی خود در محیط دست می‌یابد. این ترقیق، در واقع حداکثر کاهش غلظت جریان در محیط بر اثر شارهای جریان

<sup>1</sup> Densimetric Froude number



شکل ۸- میزان ترقیق نهایی جریان در تخلیه سطحی فاضلابهای سنگین در محیط‌های لایه بندی نشده با بستر افقی

تخلیه سطحی فاضلابهای سنگین در محیط‌های ساکن و همگن مورد بررسی و مطالعه قرار گرفت. موقعیت نقطه شیرجه، موقعیت نقطه برخورد و میزان ترقیق جریان در نقطه برخورد و در نهایت محدوده دستیابی جریان به ترقیق نهایی و میزان ترقیق جریان در این نقطه از جمله پارامترهایی هستند که در این مقاله مورد بررسی قرار گرفتند. نتایج مشاهدات انجام شده در این تحقیق بیانگر آن است که جریان در فاصله‌ای برابر با  $L_M = 1.05 \times p$  ارتباط خود را به طور کامل با سطح از دست داده و با شیرجه به سمت اعماق، بیشتر از حالت یک جت سطحی به صورت یک جریان مستغرق تغییر شکل می‌دهد. در این حالت جریان در فاصله‌ای مناسب با عمق محیط (H) با بستر برخورد نموده و در مجاورت آن آرامش می‌یابد. با برخورد جریان با بستر محیط، جریان شکل گرفته در فاصله کافی از نقطه برخورد از طریق مصرف آشفتگی‌های پیشتر القا شده به ترقیق نهایی خود در محیط می‌رسد. نتایج بدست آمده از این تحقیق بیانگر آن است که موقعیت دستیابی جریان به ترقیق نهایی و میزان آن در این نقطه تابعی مستقیم از پارامتر  $H/L_M$  است. این موضوع نشان‌دهنده آن است که علاوه بر شارهای اولیه جریان خروجی، عمق محیط پذیرنده نیز مؤلفه‌ای تأثیرگذار در دستیابی جریان به حداقل ترقیق خود در محیط است. به این ترتیب در حالت تخلیه سطحی فاضلابهای سنگین در آبهایی با عمق بالا، امکان مطلوبی برای کاهش غلظت آلاینده‌های جریان تا حد تحمل محیط فراهم می‌گردد که این امر تخلیه پوسته فاضلابهای شور و سنگین تولیدی در مناطق ساحلی از طریق تخلیه‌کننده‌های سطحی را ممکن می‌سازد.

#### ۵- قدردانی

به این وسیله از حمایتهای معاونت پژوهشی دانشگاه علم و صنعت ایران، بابت فراهم سازی زیرساختهای آزمایشگاهی مورد استفاده در این پژوهش، تشکر و قدردانی می‌گردد.

ترسیم گردیده است. این ترقیق، حداقل ترقیق جریان در محیط بوده و مقدار آن در واقع بیانگر میزان ترقیق جریان در محدوده‌ای است که غلظت جریان به صورت مجانب در می‌آید. همان‌طور که در این شکل ملاحظه می‌شود میزان ترقیق جریان در محدوده اختلاط اولیه نیز تابعی مستقیم از پارامتر  $H/L_M$  است با این تفاوت که در این نقطه میزان ترقیق مشاهده شده وابستگی بیشتری به عمق محیط و رابطه کمتری با شارهای جریان خروجی از خود نشان داده است. نمودار به دست آمده نشان می‌دهد که در این حالت دسترسی به عمق کافی، امکان ترقیق فاضلاب در محیط را به نحو مطلوب‌تری فراهم خواهد ساخت.

با تعیین موقعیت و میزان ترقیق فاضلاب در نقطه برخورد و نقطه دستیابی جریان به ترقیق نهایی به این ترتیب امکان پیش‌بینی مشخصات هندسی و اختلاطی جریان در نقاط شاخص طول مسیر به نحو مطلوبی فراهم می‌گردد. با توجه به ضرورت طراحی علمی سیستم‌های تخلیه سطحی در دفع محیط زیستی فاضلابهای بسیار شور تولیدی در نمک‌زاده‌های ساحلی، به این ترتیب امکان مدل‌سازی جریان و پیش‌بینی مشخصات حرکت در محیط‌های ساکن به عنوان بحرانی‌ترین حالت در تخلیه فاضلاب در پیکرهای آبی به نحو مطلوبی فراهم می‌گردد.

#### ۴- نتیجه گیری

فاضلابهای سنگین با چگالی بیشتر از آب پذیرنده از جمله پسابهایی هستند که با توجه به گسترش فزاپنده نمک‌زاده‌های ساحلی در سالهای اخیر در حجم بسیار زیادی تولید شده و در محیط دریا تخلیه می‌گردد. در این زمینه، هزینه کمتر کانال‌های ساحلی در مقابل تخلیه کننده‌های مستغرق باعث توجه بیشتر بهره‌برداران این تاسیسات به استفاده از تخلیه کننده‌های سطحی برای دفع پسابهای تولیدی در محیط دریا شده است. در تحقیق حاضر، از طریق شبیه‌سازی فرایند تخلیه در محیط آزمایشگاه، رفتار جریان در

## ۶- مراجع

- 1- Abessi, O., and Saeedi, M. (2009). "Marine wastewater discharge." *J. Water and Environmental*, 73, 34-41. (In Persian)
- 2- USEPA. (1980a). *Ambient water quality criteria*, EPA 440/5-80-015 to 079, U.S. Environmental Protection Agency, Washington, D.C
- 3- USEPA. (1994). *Dilution models for effluent discharges*, Office of Research and development, EPA/600/R-94/086, Environmental Protection Agency, Washington, D.C.
- 4- Gameson, A. L. H. (1984). *Bacterial mortality, Part 1, in investigation of sewage discharge to some British costal waters*, Chapter 8mWRc Technical report TR 201, Medmenham, U.K.
- 5- Roberts, J.W., and Wright, S.J. (1983). " Discussion of Vertical round buoyant jet in shallow water." *J. Hydraulic Engineering*, 109 (3), 490-496.
- 6- Roberts, P. J. (1989). "Outfall design consideration." *J. Hydraulic Engineering*, 115, 661-689.
- 7- Roberts, P.J.W., Snyder, W.H., and Baumgartner, D.J. (1989). "Ocean outfalls. I: Submerged waste field formation." *J. Hydraulic Engineering*, 115(1), 49-69.
- 8- Roberts, P. J. W., Snyder W. H., and Baumgartner, D.J. (1989). "Ocean outfalls. II: Spatial evolution of submerged waste field." *J. Hydraulic Eng.*, 115(1), 26-47.
- 9- Roberts, P. J. W., Snyder, W.H., and Baumgartner, D.J. (1989). "Ocean outfalls. III: Effect of diffuser design on submerged waste field." *J. Hydraulic Engineering*, 115(1), 1-25.
- 10- Tian, X., Roberts, P. J. W., and Daviro, J. (2004). "Marin wastewater discharge from multiport diffusers. I: Unstratified stationary water." *J. Hydraulic Engineering*, 130(12), 1137-1146.
- 11- Tian, X., Roberts, P. J. W., and Daviro, J. (2004). "Marin waste water discharge from multiport diffusers. II: Unstratified flowing water." *J. Hydraulic Eng.*, 130(12), 1147-1155.
- 12- Yu, D., Ali, M.S., and Lee, J. H. W. (2006). "Multiple tandem jets in cross-flow." *J. Hydraulic Engineering*, 132(9), 971-982.
- 13- Tian, X., Roberts, P. J. W., and Daviro, J. (2006). "Marin wast water discharge from multiport diffusers. IV: Stratified flowing water." *J. Hydraulic Engineering*, 132(4), 411-419.
- 14- Jirka, G. H. (1996). *User's manual for CORMIX: A hydrodynamic mixing zone model and decision support system for pollutant discharges into surface waters*, DeFrees Hydraulics Laboratory, Cornell University, Ithaca, N.Y.
- 15- Jones, R.G., Nash, D. J., and Jirka, H.G. (1996). *User manual: CORMIX3: An experimental system for mixing zone analysis and prediction of buoyant surface discharges*, Office of Science and Technology U.S. Environmental Protection Agency, Washington, D.C.
- 16- Jones, G., Nash, D., Doneker, L., and Jirka, H. (2007). "Buoyant surface discharge into water bodies. I: Flow classification and prediction methodology." *J. Hydraulic Engineering*, 133(9), 1010-1020.
- 17- Ahmed, M., Shayya, W. H., Hoey, D., and Al-Handaly, J. (2001). "Brine disposal from reverse osmosis desalination plants in Oman and the United Arab Emirates." *J. Desalination*., 133, 135-147.
- 18- Fischer, B., List, J.E., Imberger, J., and Brooks, H. N. (1979). *Mixing in inland and coastal waters*, Acadmce Press, Inc., San Diego, California.
- 19- Hauenstein, W., and Dracos, T. (1983). "Investigation of plunging density currents generated by inflows in lakes." *J. Hydraulic Research*, 22(3), 157-179.
- 20- Nemlioglu, S., Roberts, P.J.W., and Bayat, C. (2006). "Experimental techniques for two dimensional analyses of cool-water outfalls laboratory model tests." *4<sup>th</sup> International Conference on Marine Waste Water Disposal (MWWD)*, Antalya, Turkey.

- 21- Law, A., Ho, W., and Monismith, S. (2004). "Double diffusive effect on desalination discharge." *J. Hydrulic Enginieering*, 130(5), 450-457.
- 22- Roberts, P.J.W, Ferrier, A., and Daviero, G. (1997). "Mixing in inclined dense jet." *J. Hydrulic Enginieering*, 123(8), 693-699.
- 23- Wright, S. J. (1977). *Effects of ambient cross flow and density stratification on the characteristic behavior of round turbulent buoyant jets*, Report No. KH-R-36, W.M. Keck Lab. of Hydr. and Water Resour., California Inst. of Tech., Pasadena, California.
- 24- Zhang, H., and Baddour, E. (1998). "Maximum penetration of vertical round dense jets at small and large froud numbers." *J. Hydrulic Enginieering*, 124(5), 550-553.
- 25- Cipollina, A., Brucato, A., Grisafi, F., and Nicosia, S. (2005). "Bench-scale investigation of inclined dense jets." *J. Hydrulic Enginieering*, 131(11), 1017-1022.
- 26- Kikkert, G., Davidson, J., and Noles, I. (2007). "Inclined negatively buoyant ischrges." *J. Hydrulic Enginieering*, 133 (5), 545-554.
- 27- Bleninger, T., and Jirka G. H. (2008). "Modeling and environmentally sound management of brine discharge from desalination plants." *J. Desalination*, 221, 585-597.
- 28- Alavian, V. (1986). "Behavior of density currents on an incline." *J. Hydrulic Eng.*, 112 (1), 27-42.
- 29- Kassem, A., Jasim I., and Jamil, A.K. (2003). "Three-dimensional modeling of negatively buoyant flow in diverging channels." *J. Hydrulic Eng.*, 129(12), 936-947.
- 30-Abesi, O., Saeedi, M., Hajizadeh, N., and Kheirkhah Gildeh, H. (2011). "Flow characterization dilution in surface discharge of negative buoyant flow in stagnant and non-stratified water bodies." *J. of Water and Wastewater*, 80, 71-82. (In Persian)
- 31- Pincince, A. B., and List, E. J. (1973). "Disposal of brine into an estuary." *J. Water Pollut. Control Fed.*, 45, 2335-2344.